

Низкотемпературные свойства модели Хаббарда

Р. О. Зайцев¹⁾

Московский физико-технический институт, 141700 Долгопрудный, Россия

Поступила в редакцию 21 октября 2014 г.

После переработки 11 декабря 2014 г.

Получены самосогласованные уравнения для определения энергетического спектра в модели Хаббарда, соответствующие однопетлевому приближению при произвольном соотношении между энергией Хаббарда U и величиной интеграла перескока t . В случае точно наполовину заполненной зоны определены условия перехода диэлектрик–металл, а также условия перехода из парадиэлектрического в антиферрометаллическое состояние (ВСП).

DOI: 10.7868/S0370274X15030133

В классических работах Хаббарда было показано, что исчезновение диэлектрической щели может происходить только за счет рассеяния на флуктуациях электронной и спиновой плотности [1, 2]. Однако величина соответствующих флуктуаций, вычисленная из физических соображений, отвечает флуктуациям не взаимодействующих локализованных электронов. Таким образом, результаты Хаббарда относятся к высокотемпературному пределу. Что же касается обратного, низкотемпературного предела, то из-за наличия энергетической щели в этой области флуктуации существенно подавлены. При этом переход в металлическое состояние происходит за счет эффектов кинематического взаимодействия [3], приводящих к уменьшению и дальнейшему исчезновению энергетической щели. Данное явление и будет исследовано в рамках однопетлевого приближения.

Удается также получить условия возникновения антиферромагнетизма для альтернатных двухподрешеточных систем. Для достижения этой цели также используется однопетлевое приближение.

Выразим гамильтониан Хаббарда $\hat{H} = \hat{H}_0 + \hat{H}_t$ через X -операторы:

$$\hat{H}_0 = \sum_{\mathbf{r}} \left\{ (U - 2\mu) \hat{X}_{\mathbf{r}}^{2,2} - (\mu + \sigma) \hat{X}_{\mathbf{r}}^{\sigma,\sigma} \right\},$$

$$\hat{H}_t = \sum_{\mathbf{r}_1, \mathbf{r}_2, \sigma} \left(\hat{X}_{\mathbf{r}_1}^{2,-\sigma} + \sigma \hat{X}_{\mathbf{r}_1}^{\sigma,0} \right) \left(\hat{X}_{\mathbf{r}_2}^{-\sigma,2} + \sigma \hat{X}_{\mathbf{r}_2}^{0,\sigma} \right) t(\mathbf{r}_1 - \mathbf{r}_2). \quad (1)$$

Здесь и ниже U – энергия Хаббарда, μ – химический потенциал.

При заданной проекции спина σ имеется два независимых перехода: из пустого в одночастичное состо-

яние с проекцией σ и из одночастичного с проекцией $-\sigma$ в двухчастичное.

Соответственно введем два конечных множителя, каждый из которых равен сумме чисел заполнения конечного и начального состояний

$$f_1^\sigma = n_0 + n_1^\sigma, \quad f_2^\sigma = n_{11} + n_1^{-\sigma}, \quad (2)$$

между которыми имеется соотношение $f_1^\sigma + f_2^\sigma = 1$.

Уравнения однопетлевого приближения записываются через компоненты обратной матрицы:

$$\hat{G}_\omega^{-1}(\mathbf{p}) = \begin{pmatrix} E_1^\sigma - f_1^\sigma t_{\mathbf{p}} - \Sigma_{11}^\sigma & -f_1^\sigma \sigma t_{\mathbf{p}} - \Sigma_{12}^\sigma \\ -f_2^\sigma \sigma t_{\mathbf{p}} - \Sigma_{21}^\sigma & E_2^\sigma - f_2^\sigma t_{\mathbf{p}} - \Sigma_{22}^\sigma \end{pmatrix}. \quad (3)$$

Как видно из рис. 1, недиагональные собственно-энергетические функции однопетлевого приближе-

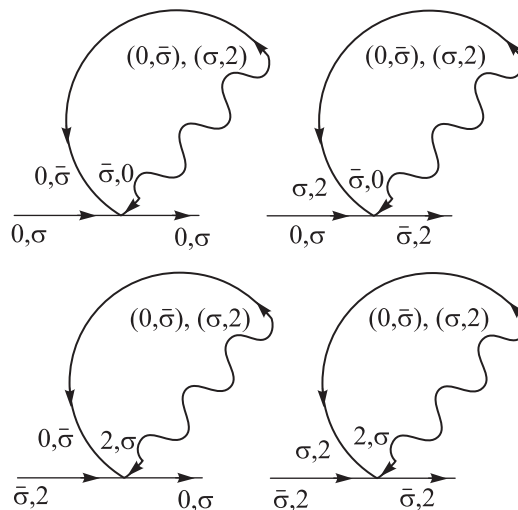


Рис. 1. Однопетлевые собственно-энергетические части

¹⁾e-mail: Zaitsev_rogdai@mail.ru

ния выражаются через диагональные с помощью следующих соотношений:

$$\Sigma_{12}^\sigma = -\sigma \Sigma_{22}^\sigma, \quad \Sigma_{21}^\sigma = -\sigma \Sigma_{11}^\sigma. \quad (4)$$

Используя эти соотношения, а также определение диагональных матричных элементов:

$$E_1^\sigma = i\omega + \mu + \sigma H, \quad E_2^\sigma = i\omega + \mu + \sigma H - U, \quad (5)$$

находим две хаббардовские ветви:

$$\xi_{\mathbf{p}}^\pm = \frac{S^\sigma + t_{\mathbf{p}}}{2} \pm \frac{1}{2} \sqrt{W_{\mathbf{p}}^\sigma} - \mu + \frac{U}{2} - \sigma H. \quad (6a)$$

Здесь

$$W_{\mathbf{p}}^\sigma = (S^\sigma - t_{\mathbf{p}})^2 + U^2 - 2U [R^\sigma + t_{\mathbf{p}} (f_1^\sigma - f_2^\sigma)], \quad (6b)$$

а вместо диагональных собственно-энергетических частей введены два следующих обозначения:

$$S^\sigma = \Sigma_1^\sigma + \Sigma_2^\sigma, \quad R^\sigma = \Sigma_1^\sigma - \Sigma_2^\sigma. \quad (7)$$

Таким образом, наша задача состоит в том, чтобы установить связь между средними числами заполнения, температурой и химическим потенциалом, а также записать два уравнения для определения собственно-энергетических частей $\Sigma_{1,2}^\sigma$.

Можно заметить, что три искомого соотношения выражаются через две независимые комбинации одностичной функции Грина:

$$\begin{aligned} G_-^\sigma(\omega, \mathbf{p}) &= [G_\omega^\sigma(\mathbf{p})]_{1,1} + \sigma [G_\omega^\sigma(\mathbf{p})]_{2,1}, \\ G_+^\sigma(\omega, \mathbf{p}) &= \sigma [G_\omega^\sigma(\mathbf{p})]_{1,2} + [G_\omega^\sigma(\mathbf{p})]_{2,2}. \end{aligned} \quad (8)$$

Так, с помощью определения среднего числа частиц с заданной проекцией σ находим

$$\begin{aligned} n_\sigma &= \langle \hat{a}_\sigma^+ \hat{a}_\sigma \rangle = n_{\text{II}} + n_1^\sigma = f_2^{-\sigma} = \\ &= T \sum_{\mathbf{p}, \omega} [G_-^\sigma(\omega, \mathbf{p}) e^{i\omega\delta} f_1^\sigma + G_+^\sigma(\omega, \mathbf{p}) e^{i\omega\delta} f_2^\sigma]. \end{aligned} \quad (9)$$

Аналогично же удается записать уравнения для определения собственно-энергетических частей:

$$\begin{aligned} \Sigma_1^\sigma &= -T \sum_{\mathbf{p}, \omega} t_{\mathbf{p}} G_-^{\sigma}(\omega, \mathbf{p}) e^{i\omega\delta}, \\ \Sigma_2^\sigma &= T \sum_{\mathbf{p}, \omega} t_{\mathbf{p}} G_+^{\sigma}(\omega, \mathbf{p}) e^{i\omega\delta}. \end{aligned} \quad (10)$$

Для того чтобы произвести суммирование по комплексным частотам $i\omega = i(2n+1)\pi T$, подставим в правую часть уравнений (9) и (10) явное выражение для одностичной функции Грина, произведем

разложение на простые множители, а затем просуммируем по комплексным частотам.

В качестве промежуточного результата получим

$$T \sum_{\omega} G_\nu^\sigma(\omega, \mathbf{p}) e^{i\omega\delta} = \sum_{\lambda=\pm} B_\nu^\lambda(\mathbf{p}) n_{\text{F}}(\xi_{\mathbf{p}}^\lambda), \quad (11)$$

где $n_{\text{F}}(\epsilon)$ – распределение Ферми, а коэффициенты $B_\nu^\lambda(\mathbf{p})$ определяются следующим образом:

$$B_\pm^{\lambda, \sigma}(\mathbf{p}) = \frac{1}{2} \left[1 + \text{sign}(\lambda) \frac{t_{\mathbf{p}} - S^\sigma \pm U}{\sqrt{W_{\mathbf{p}}^\sigma}} \right]. \quad (12)$$

С помощью этих двух коэффициентов удается записать уравнение состояния (9), а также уравнения (10) для функций S^σ и R^σ :

$$\begin{aligned} n_\sigma &= f_2^{-\sigma} = \\ &= \sum_{\mathbf{p}, \lambda} \left\{ \left[B_-^{\lambda, \sigma}(\mathbf{p}) f_1^\sigma + B_+^{\lambda, \sigma}(\mathbf{p}) f_2^\sigma \right] n_{\text{F}}(\xi_{\mathbf{p}}^{\lambda, \sigma}) \right\}, \\ S^\sigma &= \sum_{\mathbf{p}, \lambda} \left\{ t_{\mathbf{p}} \left[B_+^{\lambda, -\sigma}(\mathbf{p}) - B_-^{\lambda, -\sigma}(\mathbf{p}) \right] n_{\text{F}}(\xi_{\mathbf{p}}^{\lambda, -\sigma}) \right\}, \\ R^\sigma &= - \sum_{\mathbf{p}, \lambda} \left\{ t_{\mathbf{p}} \left[B_+^{\lambda, -\sigma}(\mathbf{p}) + B_-^{\lambda, -\sigma}(\mathbf{p}) \right] n_{\text{F}}(\xi_{\mathbf{p}}^{\lambda, -\sigma}) \right\}, \end{aligned} \quad (13)$$

Уравнения (15) и (16) обобщают уравнения Хаббарда, соответствующие нульпетловому приближению (уравнение (13), записанное при $S = R = 0$). Учет однопетлевых поправок (14) и (15) приводит к существенным изменениям как в энергетическом спектре, так и в магнитных свойствах, возникающих при включении внешнего магнитного поля²⁾.

Если предположить, что нижняя подзона Хаббарда заполнена точно наполовину, то $\mu = U/2$, а интегрирование по импульсам \mathbf{p} происходит по всей зоне Бриллюэна. Предполагая, что плотность состояний $\rho(\epsilon) = \sum_{\mathbf{p}} \delta(\epsilon - t_{\mathbf{p}})$ есть четная функция энергии ϵ , обнаруживаем, что $S^\sigma = 0$, $f_1 = f_2 = 1/2$.

Спектр возбуждений $\xi_{\mathbf{p}}^\pm$ выражается через однопетлевую собственно-энергетическую часть R :

$$R = \sum_{\mathbf{p}} \frac{t_{\mathbf{p}}^2}{\sqrt{t_{\mathbf{p}}^2 + \Delta^2}} [n_{\text{F}}(\xi_{\mathbf{p}}^-) - n_{\text{F}}(\xi_{\mathbf{p}}^+)] =$$

²⁾Самосогласованные уравнения (13)–(15) не могут быть получены в рамках динамического среднего поля (DMFT) [4, 5]. Дело в том, что уравнения DMFT основаны на использовании классических антикоммутирующих ферми-жидкостных перестановочных соотношений. По этой причине вклад, соответствующий электронной петле, которая изображена на рис. 1, вообще не учитывается.

$$= \int \rho_0(\epsilon) \frac{\epsilon^2}{\sqrt{\epsilon^2 + \Delta^2}} [n_F(\xi_\epsilon^-) - n_F(\xi_\epsilon^+)] d\epsilon, \quad (16)$$

где величина Δ есть диэлектрическая щель, которая определяется из условия самосогласования:

$$\xi_{\mathbf{p}}^\pm = \frac{t_{\mathbf{p}}}{2} \pm \frac{1}{2} \sqrt{t_{\mathbf{p}}^2 + \Delta^2}, \quad \Delta^2 = U^2 - 2UR. \quad (17a)$$

Здесь и ниже используется одночастичная затравочная плотность состояний:

$$\rho_0(\epsilon) = \sum_{\mathbf{p}} \delta(\epsilon - t_{\mathbf{p}}), \quad \xi_\epsilon^\pm = \frac{\epsilon}{2} \pm \frac{1}{2} \sqrt{\epsilon^2 + \Delta^2}. \quad (17b)$$

Таким образом, однопетлевое приближение приводит к существенному уменьшению корреляционной щели, которая исчезает при условии $R = U/2$. Подставляя эту величину в левую и правую части уравнения (16), получаем критическое значение энергии Хаббарда, ниже которой система является металлом:

$$U_c = 2 \sum_{\mathbf{p}} |t_{\mathbf{p}}| = 2 \int |\epsilon| \rho_0(\epsilon) d\epsilon. \quad (18)$$

Результаты вычислений температурной зависимости Δ для модели плоской зоны представлены на рис. 2. В области предельно низкой температу-

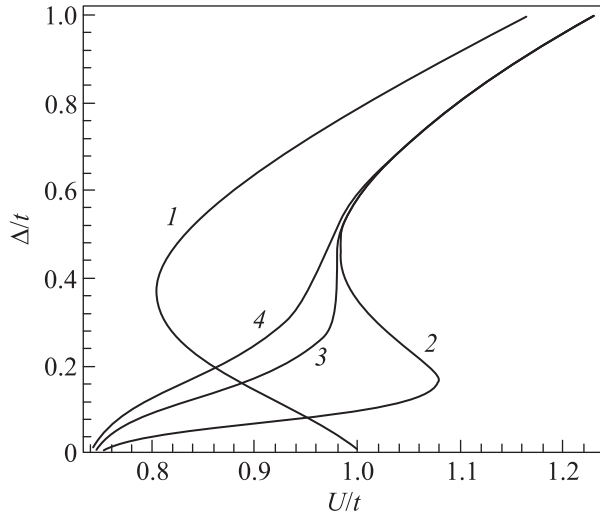


Рис. 2. Величина диэлектрической щели Δ/t в зависимости от безразмерной энергии Хаббарда U/t ($\rho_0 = \theta(1 - \epsilon^2)/2$, $n = 1$): 1 – $T = 0$, 2 – $T = 0.01$, 3 – $T = 0.04$, 4 – $T = 0.06$

ры $T < T_c$, имеет место неоднозначная зависимость $\Delta(U)$, которая исчезает при $T > 0.04$ (эти результаты были получены численным методом ренорм-группы [6, 7]).

В пределе $T = 0$ удается получить аналитическое выражение $U(\Delta)$ для полуэллиптической плотности

состояний: $\rho_0(\epsilon) = (4/\pi)\sqrt{1 - \epsilon^2}$. При $T = 0$ уравнение (16) переписывается следующим образом:

$$R = R(\Delta) = \frac{4}{3\pi} \sqrt{1 + \Delta^2} \times \left[(1 + 2\Delta^2) E \left(\frac{1}{\sqrt{1 + \Delta^2}} \right) - 2\Delta^2 K \left(\frac{1}{\sqrt{1 + \Delta^2}} \right) \right]. \quad (19a)$$

Здесь и ниже $K(x)$ и $E(x)$ – полные эллиптические интегралы I и II рода.

Для квадратной решетки

$$\rho_0(\epsilon) = \frac{2}{\pi^2} K \left(\sqrt{1 - \frac{\epsilon^2}{4}} \right) = \frac{8}{(|\epsilon| + 2)\pi^2} K \left(\frac{2 - |\epsilon|}{2 + |\epsilon|} \right), \quad (19b)$$

так что возникает необходимость численного интегрирования:

$$R = R(\Delta) = \frac{8}{\pi^2} \int_0^2 \frac{\epsilon^2}{(2 + |\epsilon|)\sqrt{\epsilon^2 + \Delta^2}} K \left(\frac{2 - |\epsilon|}{2 + |\epsilon|} \right) d\epsilon. \quad (19c)$$

Таким образом, нам удается определить явную зависимость энергии Хаббарда U от величины диэлектрической щели Δ (см. рис. 3):

$$U = |R(\Delta)| + \sqrt{R^2(\Delta) + \Delta^2}. \quad (20)$$

Здесь $\Delta = \sqrt{U^2 - 2UR}$ – величина диэлектрической щели, а все энергетические величины обезразмерены на полуширину $|t|$.

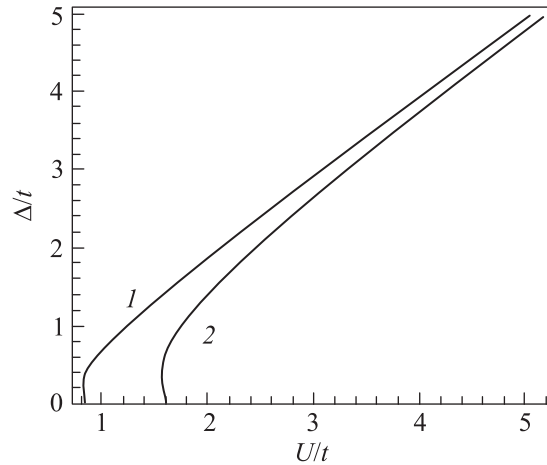


Рис. 3. Величина диэлектрической щели Δ/t в зависимости от безразмерной энергии Хаббарда U/t ($T = 0$, $n = 1$). Кривая 1 соответствует полуэллиптической плотности состояний, 2 – квадратной решетке

Как следует из рис. 3, с понижением энергии Хаббарда U происходит уменьшение энергетической щели. Наконец она обращается в нуль, что отвечает переходу диэлектрик–металл. Соответствующая

точка перехода, вычисленная в статье Хаббарда [2] $((U/t)_c = \sqrt{3}/2 \approx 0.866)$ для затравочной полуэллиптической плотности состояний, слабо отличается от полученной из уравнения (20), $(U/t)_c = 8/(3\pi) \approx 0.848$.

Рассмотрим далее возможность возникновения волны спиновой плотности (ВСП) в случае двухподрешеточной кристаллической системы.

Для того чтобы определить условия появления ВСП, вычислим спиновую магнитную восприимчивость. При условии, когда слабое магнитное поле зависит от координат, удобно перейти к импульсному представлению: $\delta h_{\mathbf{r}} = \delta h_{\mathbf{q}} \exp(i\mathbf{q}\mathbf{r})$. Мы предположим, что поправки к электронной плотности δn , к конечным множителям $\delta f_{1,2}$ ([8, 9]), а также к собственно-энергетическим частям $\delta \Sigma_{1,2}$ ([10]) зависят от координат через единственную компоненту Фурье:

$$\begin{aligned} \delta n_{\mathbf{r}}^{\sigma} &= \delta f_{1,\mathbf{r}}^{\sigma} = -\delta f_{2,\mathbf{r}}^{\sigma} = \delta n_{\mathbf{q}}^{\sigma} \exp(i\mathbf{q}\mathbf{r}) = \\ &= \delta f_1^{\sigma}(\mathbf{q}) \exp(i\mathbf{q}\mathbf{r}) = -\delta f_2^{\sigma}(\mathbf{q}) \exp(i\mathbf{q}\mathbf{r}); \\ \delta \Sigma_{1,\mathbf{r}}^{\sigma} &= \delta \Sigma_1^{\sigma}(\mathbf{q}) \exp(i\mathbf{q}\mathbf{r}), \quad \delta \Sigma_{2,\mathbf{r}}^{\sigma} = \delta \Sigma_2^{\sigma}(\mathbf{q}) \exp(i\mathbf{q}\mathbf{r}). \end{aligned} \quad (21)$$

Уравнение для восприимчивости $\chi_{\mathbf{q}}$ находим с помощью вариации уравнения для функции Грина $G_{\omega}(\mathbf{p}, \mathbf{q})$, выраженной через вариацию магнитного поля $\mathbf{h}_{\mathbf{q}}$, конечного множителя $f_{\mathbf{q}} = \delta f_{1,\mathbf{r}}^{\sigma} = -\delta f_{2,\mathbf{r}}^{\sigma}$ и однопетлевых собственно-энергетических частей $S_{\mathbf{q}} = \Sigma_{1,\mathbf{q}} + \Sigma_{2,\mathbf{q}}$ и $R_{\mathbf{q}} = \Sigma_{1,\mathbf{q}} - \Sigma_{2,\mathbf{q}}$:

$$\begin{aligned} \delta n_{\mathbf{q}}^{\sigma} &= \delta f_{\mathbf{q}}^{\sigma} T \sum_{\omega, \mathbf{p}} [G_{-,\omega}^{\sigma}(\mathbf{p}) - G_{+,\omega}^{\sigma}(\mathbf{p})] + \\ &+ f_1^{\sigma} T \sum_{\omega, \mathbf{p}} \delta G_{-,\omega}^{\sigma}(\mathbf{p}, \mathbf{q}) + f_2^{\sigma} T \sum_{\omega, \mathbf{p}, \mathbf{q}} \delta G_{+,\omega}^{\sigma}(\mathbf{p}, \mathbf{q}), \\ \delta S_{\mathbf{q}}^{\sigma} &= -T \sum_{\omega, \mathbf{p}} t_{\mathbf{p}} [\delta G_{-,\omega}^{-\sigma}(\mathbf{p}, \mathbf{q}) - \delta G_{+,\omega}^{-\sigma}(\mathbf{p}, \mathbf{q})], \\ \delta R_{\mathbf{q}}^{\sigma} &= -T \sum_{\omega, \mathbf{p}} t_{\mathbf{p}} [\delta G_{-,\omega}^{-\sigma}(\mathbf{p}, \mathbf{q}) + \delta G_{+,\omega}^{-\sigma}(\mathbf{p}, \mathbf{q})]. \end{aligned} \quad (22)$$

Выражения для гриновских функций в первой сумме первого уравнения определены с помощью соотношений (11), (12). Вариации гриновских функций определяются через вариацию обратной функции (3) с помощью общей формулы:

$$\delta \hat{G}_{\omega}^{\sigma}(\mathbf{p}) = -\hat{G}_{\omega}^{\sigma}(\mathbf{p}) \delta \hat{G}_{\sigma, \omega}^{-1}(\mathbf{p}, \mathbf{q}) \hat{G}_{\omega}^{\sigma}(\mathbf{p} + \mathbf{q}). \quad (23)$$

Здесь гриновские функции вычисляются при нулевом магнитном поле, а вариация обратной функции Грина находится с помощью общих формул (3)–(5):

$$\delta \hat{G}_{\sigma, \omega}^{-1}(\mathbf{p}, \mathbf{q}) =$$

$$\begin{pmatrix} \sigma \delta h_{\mathbf{q}} - \delta f_1^{\sigma}(\mathbf{q}) t_{\mathbf{p}+\mathbf{q}} - \delta \Sigma_{11}^{\sigma}(\mathbf{q}) & -\sigma \delta f_1^{\sigma}(\mathbf{q}) t_{\mathbf{p}+\mathbf{q}} + \sigma \delta \Sigma_{22}^{\sigma}(\mathbf{q}) \\ -\sigma \delta f_2^{\sigma}(\mathbf{q}) t_{\mathbf{p}+\mathbf{q}} + \sigma \delta \Sigma_{11}^{\sigma}(\mathbf{q}) & \sigma \delta h_{\mathbf{q}} - \delta f_2^{\sigma}(\mathbf{q}) t_{\mathbf{p}+\mathbf{q}} - \delta \Sigma_{22}^{\sigma}(\mathbf{q}) \end{pmatrix}. \quad (24)$$

Далее мы учитываем, что в нашей задаче все вариации меняют знак при изменении знака проекции спина:

$$\delta f_k^{-\sigma} = -\delta f_k^{\sigma}, \quad \delta \Sigma_{11}^{-\sigma} = -\delta \Sigma_{11}^{\sigma}, \quad \delta \Sigma_{22}^{-\sigma} = -\delta \Sigma_{22}^{\sigma}. \quad (25)$$

Кроме того, из тождества $f_1^{\sigma} + f_2^{\sigma} = 1$ следует соотношение $\delta f_2^{\sigma} = -\delta f_1^{\sigma}$. Отсюда заключаем, что наша задача сводится к решению системы уравнений следующего вида:

$$\begin{aligned} df &= F_f df_1^{\sigma} + F_S dS + F_R dR + f' dh, \\ dS &= S_f df_1^{\sigma} + S_S dS + S_R dR + S' dh, \\ dR &= R_f df_1^{\sigma} + R_S dS + R_R dR + R' dh. \end{aligned} \quad (26)$$

Здесь введены обозначения $\delta f_1 = \delta f_1^+$, $\delta S = \delta S^+ = \delta \Sigma_{11}^+ + \delta \Sigma_{22}^+$, $\delta R = \delta R^+ = \delta \Sigma_{11}^+ - \delta \Sigma_{22}^+$.

Вычисление коэффициентов уравнения (26) приводит к следующему результату:

$$\begin{aligned} F_f &= \sum_{\mathbf{p}} \frac{U}{\xi_{\mathbf{p}}^+ - \xi_{\mathbf{p}}^-} [n_F(\xi_{\mathbf{p}}^-) - n_F(\xi_{\mathbf{p}}^+)] + \\ &+ T \sum_{\omega, \mathbf{p}} \frac{U t_{\mathbf{p}+\mathbf{q}} (-E_2 f_1 - E_1 f_2 + S)}{W_{\omega}(\mathbf{p}, \mathbf{q})}, \\ F_S &= T \sum_{\omega, \mathbf{p}} \frac{U (E_1 f_2 - E_2 f_1 - R)}{2W_{\omega}(\mathbf{p}, \mathbf{q})}, \\ F_R &= T \sum_{\omega, \mathbf{p}} \frac{U (-E_2 f_1 - E_1 f_2 + S)}{2W_{\omega}(\mathbf{p}, \mathbf{q})}, \\ f' &= T \sum_{\omega, \mathbf{p}} \left\{ -S^2 + \frac{1}{2} [R + S(2 - f_1 + f_2)] E_1 + \right. \\ &+ \frac{1}{2} [-R + S(2 + f_1 - f_2)] E_2 - f_1 E_2^2 - f_2 E_1^2 \left. \right\} \times \\ &\times \frac{1}{W_{\omega}(\mathbf{p}, \mathbf{q})}; \\ S_f &= T \sum_{\omega, \mathbf{p}} \frac{U^2 t_{\mathbf{p}} t_{\mathbf{p}+\mathbf{q}}}{W_{\omega}(\mathbf{p}, \mathbf{q})}, \\ S_S &= T \sum_{\omega, \mathbf{p}} \frac{U t_{\mathbf{p}} (-E_1 - E_2 + 2t_{\mathbf{p}+\mathbf{q}})}{2W_{\omega}(\mathbf{p}, \mathbf{q})}, \\ S_R &= T \sum_{\omega, \mathbf{p}} \frac{U^2 t_{\mathbf{p}}}{2W_{\omega}(\mathbf{p}, \mathbf{q})}, \\ S' &= UT \sum_{\omega, \mathbf{p}} (E_1 + E_2 - t_{\mathbf{p}+\mathbf{q}} - S) \frac{t_{\mathbf{p}}}{W_{\omega}(\mathbf{p}, \mathbf{q})}; \end{aligned}$$

$$R_f = T \sum_{\omega, \mathbf{p}} \frac{U(-E_1 - E_2 + 2S)t_{\mathbf{p}}t_{\mathbf{p}+\mathbf{q}}}{W_{\omega}(\mathbf{p}, \mathbf{q})},$$

$$R_S = T \sum_{\omega, \mathbf{p}} \frac{Ut_{\mathbf{p}}(U - 2R - Ft_{\mathbf{p}+\mathbf{q}})}{2W_{\omega}(\mathbf{p}, \mathbf{q})},$$

$$R_r = T \sum_{\omega, \mathbf{p}} \frac{Ut_{\mathbf{p}}(-E_1 - E_2 + 2S)}{2W_{\omega}(\mathbf{p}, \mathbf{q})},$$

$$R' = -T \sum_{\omega, \mathbf{p}} t_{\mathbf{p}} \{2S^2 + [-2S - (f_1 - f_2)t_{\mathbf{p}+\mathbf{q}} - R] E_1 +$$

$$+ [-2S + (f_1 - f_2)t_{\mathbf{p}+\mathbf{q}} + R] E_2 + E_1^2 + E_2^2\} \frac{1}{W_{\omega}(\mathbf{p}, \mathbf{q})}. \quad (27)$$

Здесь $U = E_1 - E_2$, $\xi_{\mathbf{p}}^{\pm}$ – энергии в верхней и нижней подзоне Хаббарда, определенные в (6а) и (6б),

$$W_{\omega}(\mathbf{p}, \mathbf{q}) = (i\omega - \xi_{\mathbf{p}}^+) (i\omega - \xi_{\mathbf{p}}^-) (i\omega - \xi_{\mathbf{p}+\mathbf{q}}^+) (i\omega - \xi_{\mathbf{p}+\mathbf{q}}^-).$$

В случае точно наполовину заполненной зоны $n = 1$ в уравнениях следует положить $\mu = -U/2$, $E_1 = i\omega_n + U/2$, $E_2 = i\omega_n - U/2$, $f_1 = f_2 = 1/2$, $S_0 = 0$. В результате коэффициенты, определяющие магнитную восприимчивость, приобретают

$$F_f = \sum_{\mathbf{p}} \frac{U}{\sqrt{\Delta^2 + t_{\mathbf{p}}^2}} [n_{\mathbf{F}}(\xi_{\mathbf{p}}^-) - n_{\mathbf{F}}(\xi_{\mathbf{p}}^+)],$$

$$F_S = T \sum_{\omega, \mathbf{p}} \frac{\Delta^2}{4W_{\omega}(\mathbf{p}, \mathbf{q})}, \quad F_R = 0,$$

$$f' = T \sum_{\omega, \mathbf{p}} \frac{4\omega^2 - \Delta^2}{4W_{\omega}(\mathbf{p}, \mathbf{q})};$$

$$S_f = US_S, \quad S_S = -S' = UT \sum_{\omega, \mathbf{p}} \frac{t_{\mathbf{p}}t_{\mathbf{p}+\mathbf{q}}}{W_{\omega}(\mathbf{p}, \mathbf{q})}, \quad S_R = 0,$$

$$R_f = R_S = R_r = R' = 0. \quad (28)$$

Здесь использовано определение величины энергетической щели, $\Delta = \sqrt{U^2 - 2RU}$, через которую выражаются энергии в верхней и нижней подзонах Хаббарда:

$$\xi_{\mathbf{p}}^{\pm} = \frac{1}{2} \left(\pm \sqrt{\Delta^2 + t_{\mathbf{p}}^2} + t_{\mathbf{p}} \right).$$

Рассмотрим возможность установления антиферромагнетизма (ВСП) в случае двухподрешеточной кристаллической системы, когда выполняется условие $t_{\mathbf{p}+\mathbf{Q}} = -t_{\mathbf{p}}$ (полный *nesting*). При этом оказывается, что величина $W_{\omega}(\mathbf{p}, \mathbf{Q})$ является четной функцией энергетического параметра ω :

$$W_{\omega}(\mathbf{p}, \mathbf{Q}) = [\omega^2 + (\xi_{\mathbf{p}}^+)^2][\omega^2 + (\xi_{\mathbf{p}}^-)^2]. \quad (29)$$

Коэффициенты, определяющие магнитную восприимчивость при $\mathbf{q} = \mathbf{Q}$, приобретают следующий вид:

$$F_f = \sum_{\mathbf{p}} \frac{U}{\sqrt{\Delta^2 + t_{\mathbf{p}}^2}} [n_{\mathbf{F}}(\xi_{\mathbf{p}}^-) - n_{\mathbf{F}}(\xi_{\mathbf{p}}^+)],$$

$$F_S = T \sum_{\omega, \mathbf{p}} \frac{\Delta^2}{4W_{\omega}(\mathbf{p}, \mathbf{Q})}, \quad F_R = 0,$$

$$f' = T \sum_{\omega, \mathbf{p}} \frac{4\omega^2 - U^2}{4W_{\omega}(\mathbf{p}, \mathbf{Q})};$$

$$S_f = US_S, \quad S_S = -S' = -UT \sum_{\omega, \mathbf{p}} \frac{t_{\mathbf{p}}^2}{W_{\omega}(\mathbf{p}, \mathbf{Q})}, \quad S_R = 0,$$

$$R_f = R_S = R_r = R' = 0. \quad (30)$$

Поскольку импульсная зависимость правых частей в формулах (30) определяется только через интеграл перескока $t_{\mathbf{p}}$, то удобно ввести затравочную плотность состояний $\rho(\epsilon) = \sum_{\mathbf{p}} \delta(\epsilon - t_{\mathbf{p}})$. Если предположить, что $\rho(\epsilon) = \rho(-\epsilon)$, то соотношения (30) приобретают вид

$$F_f = \int \rho(\epsilon) \frac{U}{\sqrt{\epsilon^2 + \Delta^2}} [n_{\mathbf{F}}(\xi_{\epsilon}^-) - n_{\mathbf{F}}(\xi_{\epsilon}^+)] d\epsilon,$$

$$F_S = A_0(T) \frac{\Delta^2}{4}, \quad F_R = 0,$$

$$f' = A_2(T) - A_0(T) \frac{\Delta^2}{4},$$

$$S_f = US_s, \quad S_S = -S' = -UD_s, \quad S_R = 0,$$

$$R_f = R_S = R_r = R' = 0, \quad (31)$$

где

$$A_k = T \sum_{\omega} \int \rho(\epsilon) \frac{\omega^k}{V_{\omega}(\epsilon)} d\epsilon, \quad V_{\omega}(\epsilon) =$$

$$= [\omega^2 + (\xi_{\epsilon}^+)^2][\omega^2 + (\xi_{\epsilon}^-)^2],$$

$$D_s = T \sum_{\omega} \int \rho(\epsilon) \frac{\epsilon^2}{V_{\omega}(\epsilon)} d\epsilon, \quad \xi_{\epsilon}^{\pm} = \frac{1}{2} \left[\epsilon \pm \sqrt{\Delta^2 + \epsilon^2} \right]. \quad (32)$$

Из (32), следует, что вне зависимости от температуры антиферромагнитная поправка $\delta R = 0$. Оставшаяся система уравнений имеет вид

$$df_1 = F_f df_1 + F_S dS + f' dh,$$

$$dS = S_f df_1 + S_S dS + S' dh. \quad (33)$$

Запишем коэффициенты, входящие в эти уравнения, в пределе $T = 0$:

$$F_f(0) = UA, \quad F_S(0) = \frac{A}{2}, \quad f'(0) = 0,$$

$$A = \int \rho(\epsilon) \frac{1}{\sqrt{\epsilon^2 + \Delta^2}} d\epsilon,$$

$$S_f(0) = US_S(0), \quad S_S(0) = S'(0) = -2 \frac{U^2}{\Delta^2} R,$$

$$R = \int \rho(\epsilon) \frac{\epsilon^2}{\sqrt{\epsilon^2 + \Delta^2}} d\epsilon. \quad (34)$$

Подстановка этих коэффициентов в систему уравнений (33) позволяет найти обратную магнитную восприимчивость:

$$\chi^{-1} = \left(2 \frac{df_1}{dh}\right)^{-1} =$$

$$= \frac{\Delta^2}{4AUR} \left(1 - UA + 2R \frac{U}{\Delta^2} - AR \frac{U^2}{\Delta^2}\right). \quad (35)$$

Таким образом, в пределе $T = 0$ условие возникновения антиферромагнетизма преобразуется с следующим видом:

$$1 - UA + 2R \frac{U}{\Delta^2} - AR \frac{U^2}{\Delta^2} = 0. \quad (36)$$

Энергия Хаббарда U связана с величиной диэлектрической щели Δ соотношением

$$U = U(\Delta) = R(\Delta) + \sqrt{R(\Delta)^2 + \Delta^2}. \quad (37)$$

Аналогичным образом через параметр Δ можно выразить все остальные коэффициенты, входящие в (35): $A(\Delta)$ и $R(\Delta)$.

Подставляя эти функции в условие (36), находим критическое значение $U_{af}/t \leq 1$, которому соответствует возникновение ВСП (см. рис. 4).

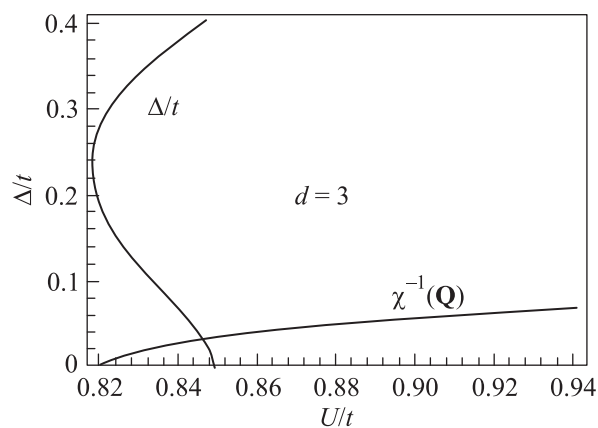


Рис. 4. Величины диэлектрической щели Δ/t и обратной антиферромагнитной проницаемости $\chi(\mathbf{Q})^{-1}$ для полуэллиптической плотности состояний

Как следует из рис. 4 и 5, антиферромагнитное упорядочение возникает в диэлектрической фазе в непосредственной близости от точки перехода из диэлектрической в металлическую фазу.

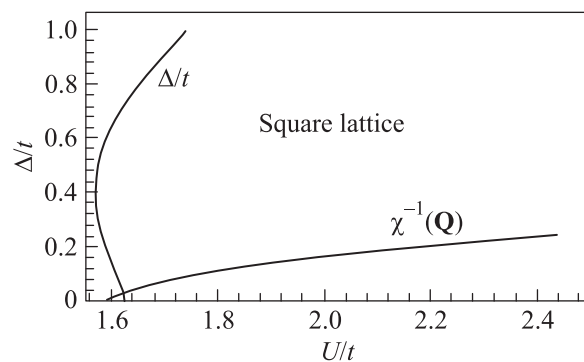


Рис. 5. Величины диэлектрической щели Δ/t и обратной антиферромагнитной проницаемости $\chi(\mathbf{Q})^{-1}$ для квадратной решетки

Таким образом, мы приходим к выводу о том, что в однопетлевом приближении удастся получить не только точку перехода из диэлектрического в металлическое состояние, но также с помощью уравнения (36) и точку возникновения антиферромагнитного параметра порядка.

Общее заключение, которое можно сделать исходя из вычислений в однопетлевом приближении, состоит в том, что в простейшей S -электронной модели Хаббарда для точно наполовину заполненной зоны можно обнаружить фазовый переход металл-диэлектрик. При этом антиферромагнитное упорядочение (ВСП) при $T = 0$ существует во всей металлической области ($t > U_c$).

Физической причиной уменьшения диэлектрической щели следует считать наличие так называемого кинематического взаимодействия, которое при большой электронной концентрации ($n > 2/3$) имеет характер притяжения [10].

1. J. Hubbard, Proc. Roy. Soc. (London) A **277**, 237 (1964).
2. J. Hubbard, Proc. Roy. Soc. (London) A **281**, 401 (1964).
3. Р. О. Зайцев, ЖЭТФ **70**, 1100 (1976).
4. A. Georges, G. Kotliar, W. Krauth, and M. J. Rozenberg, Rev. Mod. Phys. **68**, 13 (1996).
5. Э. З. Кучинский, И. А. Некрасов, М. В. Садовский, УФН **182**, 345 (2012).
6. R. Bulla, Phys. Rev. Lett. **83**, 136 (1999).
7. R. Bulla, T. A. Costi, and D. Vollhardt, Phys. Rev. B **64**, 045103 (2001).
8. J. Hubbard and K. P. Jain, J. Phys. C **1**, 1650 (1968).
9. J. W. Schweitzer, Phys. Rev. B **3**, 2357 (1971).
10. Р. О. Зайцев, *Диаграммные методы в теории сверхпроводимости и ферромагнетизма*, URSS, М. (2001) [R. O. Zaitsev, *Diagrammatic Methods in the Theory Superconductivity and Ferromagnetism*, URSS, М. (2007)].